

# Отчет о проведении экспериментов по изучению эффекта 'фантомов'

Сергей Кернбах<sup>1</sup>, Влад Жигалов<sup>2</sup>

**Аннотация**—В этой работе описываются некоторые эксперименты, проведенные 17-18 августа 2012 после конференции 'Торсионные поля и информационные взаимодействия — 2012'. Эти эксперименты охватывают измерение пространственных границ излучения светодиодных и вращательных генераторов, и 'модальности' их излучения. Одним из наиболее интересных являлся эксперимент по постановке так называемого 'фантома' с помощью полиспектрального светодиодного излучателя и исследование его временных и пространственных границ с помощью детектора геофизических аномалий ИГА-1.

## I. ВВЕДЕНИЕ

Эти эксперименты проходили в одной из лабораторий кафедры физики Московского Государственного Педагогического Университета. Мероприятие было организовано А.Смирновым, непосредственно после конференции 'Торсионные поля и информационные взаимодействия — 2012'. Были использованы два прибора ИГА-1 (один для полевых замеров и один для замеров внутри помещений, конструкция Ю.Кравченко [1]), три светодиодных излучателя (два синего и один полиспектрального излучения с напряжением 48 вольт конструкции С.Кернбаха [2]), установка с двигателем постоянного тока на 9 вольт и укрепленным на оси медным диском (конструкции А.Смирнова), присутствовали также два исследователя, имеющих опыт биолокации с рамками (С.Курапов и А.Павленко). Помимо этого были продемонстрированы несколько объектов, такие как конусы из меди и т.д., опытов с которыми не производилось. Были произведены следующие эксперименты:

- 1) Измерение границ излучения светодиодных и вращающихся генераторов.
- 2) Измерение 'модальности' излучения генераторов.
- 3) Постановка 'фантома' и измерения его границ на протяжении около 3х часов.

<sup>1,2</sup>Авторы, подготовившие отчет. Лабораторные дни были организованы А.Смирновым. В измерениях принимали участие П.Ермаков, Ю.Кравченко, С.Курапов, А.Павленко.

<sup>1</sup> Cybertronica Research, Research Center of Advanced Robotics and Environmental Science, Melunerstr. 40, 70569 Stuttgart, [serge.kernbach@cybertronica.co](mailto:serge.kernbach@cybertronica.co)

<sup>2</sup> [zhalov@gmail.com](mailto:zhalov@gmail.com)

На экспериментах в первый день присутствовали около 15 человек, во второй день - около 7 человек. Первый день был в основном посвящен различным дискуссиям между Г.Шиповым, А.Смирновым, В.Жигаловым, Ю.Кравченко, С.Кураповым, В.Пановым и другими исследователями. Присутствовал также профессиональный целитель. Поскольку помещение было довольно маленькое, с множеством электронной аппаратуры внутри, замеры в этой комнате прибором ИГА-1 давали большое количество помех. Поэтому, эксперименты на второй день были перенесены в другое помещение.

## II. ИЗМЕРЕНИЕ ГРАНИЦ ИЗЛУЧЕНИЯ ГЕНЕРАТОРОВ

Эти измерения были проведены 17.09.12 прибором ИГА-1 (операторы Ю.Кравченко, С.Кернбах) и методом биолокации с рамками (операторы А.Павленко и С.Курапов). ИГА-1 продемонстрировал сначала слабые изменения на коротком расстоянии для светодиодных генераторов с закрытой фронтальной крышкой. Крышки представляют собой пластины, распечатанные на 3D RepRap принтере из PLA пластика с продольно-поперечной структурой волокон и уровнем заполнения 90%, см рисунок 1. Было высказано предположение,



Рис. 1. Крышки светодиодных генераторов, распечатанные на 3D RepRap принтере из PLA (полиактид) пластика с продольно-поперечной структурой волокон и уровнем заполнения 90%.

что они создают эффект полостных структур и ослабляют сигнал. После снятия крышек, ИГА-1 демонстрировал изменения стрелочного индикатора на расстоянии порядка 0.5 метра и 0.4 метра в диаметре (в

форме перевернутого конуса) для генератора с синим светом излучения и порядка 0.7 - 0.8 метра и 0.6 метра в диаметре для полиспектрального генератора. Для обратной стороны генератора были получены сходные значения. Эти измерения были перепроверены в Штутгарте 19 августа 2012. Данные измерений показаны в таблице I. Эти данные были качественно подтверждены

Таблица I  
Границы излучения светодиодных генераторов.

	спереди		сбоку		сзади	
	длина	φ конуса	длина	φ конуса	длина	φ конуса
Синего цвета излучения	50 см	40 см	50 см	—	50 см	40 см
Полиспектральный	80 см	65 см	80 см	—	80 см	65 см

также с помощью метода биолокации. Дополнительно, С.Курапов отметил присутствие так называемых периодических пространственных 'уплотнений' в излучении генератора, см. рисунок 2. Некоторые исследователи

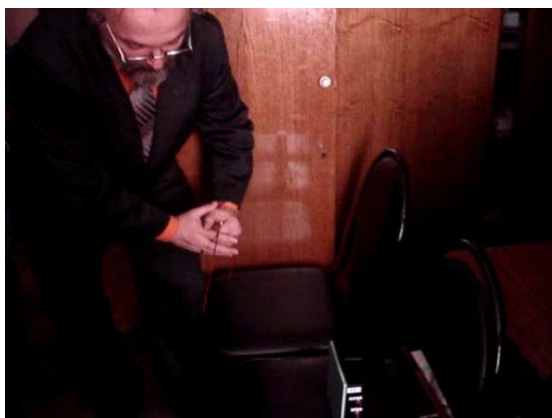


Рис. 2. Определение границы излучения светодиодных генераторов методом биолокации, оператор С.Курапов.

отметили субъективный эффект 'вытекания воды' при зажимании двух работающих светодиодных генераторов в руках и поступательном движении рук навстречу друг другу, см. рисунок 3. Был также отмечен эффект, когда при повороте генераторов относительно друг друга (с закрытой крышкой) на расстоянии 10-30 мм чувствовалось отталкивание или притягивание генераторов. Этот эффект наблюдался только при определенных углах генераторов относительно центральной оси и друг друга. В первый и во второй дни проводились некоторые попытки измерить этот эффект с помощью весов, наблюдать раскачивание генераторов на тонкой нити, однако ни конструкция генераторов, ни имеющиеся измерительные инструменты не позволили этого сделать. Имеются два объяснения этого явления. Предполагается, что этот эффект имеет аналогию с эффектами массодинамического взаимодействия, исследованные В.Н.Самохваловым, см. например [3]. В



Рис. 3. Эффект 'вытекания воды' при зажимании двух работающих светодиодных генераторов в руках и поступательном движении рук навстречу друг другу.

качестве альтернативного объяснения можно предположить, что излучение генераторов стимулирует некоторые идеомоторные реакции, которые субъективно проявляются подобным образом.

Измерение поля вращающегося диска было принято 18.09.12. Установка была установлена на стул и впоследствии на пол. Расстояние между диском и краем деревянного бруска составляло около 30 см и краем стула - порядка 40 см. Сбоку расстояние было около 7 см, см. рисунок 3. Подавалось напряжение от 3х до 9ти вольт различной полярности, для образования левостороннего и правостороннего вращения диска. ИГА-1 подносился спереди и сбоку, нижняя часть антенны находилась на уровне оси вращения диска. При всех показаниях напряжения питания двигателя,



Рис. 4. Установка с крутящимся диском.

прибор реагивал на край стула и край бруска, как спереди, так и сбоку. При увеличении или уменьшении частоты вращения не удалось обнаружить изменений показаний стрелочного индикатора ИГА-1 за этими пределами. При выносе прибора за пределы зоны 50см-70см, наблюдались множественные помехи. Даже перенос установки на пол не смог изменить ситуацию. Поэтому более точные попытки определения границ излучения были прекращены.

### III. ИЗМЕРЕНИЕ 'МОДАЛЬНОСТИ' ИЗЛУЧЕНИЯ ГЕНЕРАТОРОВ

В оригинальных работах А.В.Боброва и других исследователей сообщалось о различной 'полярности' излучения светодиодных генераторов [4]. На примере биологических сенсоров было показано, что фронтальное излучение светодиодного генератора является 'биологически-стимулирующим', а излучение задней частью - 'биологически-подавляющим'. Это в какой-то мере соответствует 'левостороннему' и 'правостороннему' полю, образованному соответствующим вращением диска на оси электродвигателя. Была предпринята попытка измерить эту 'модальность' поля при помощи ИГА-1 и методом биолокации.

Для этого ИГА-1 помещался в центр излучения светодиодного генератора и плавно перемещался в сторону уменьшения показаний. Фиксировалось направление изменения стрелочного индикатора, '-' при движении вниз, '+' при движении вверх. Замеры были повторены для фронтальной и задней частей генератора синего цвета излучения и полиспектрального генератора, см таблицы II и III.

Таблица II  
ИЗМЕРЕНИЕ 'МОДАЛЬНОСТИ' ИЗЛУЧЕНИЯ ГЕНЕРАТОРА СИНЕГО ЦВЕТА. ПОКАЗАНО НАПРАВЛЕНИЕ ДВИЖЕНИЯ СТРЕЛОЧНОГО ИНДИКАТОРА (+ ВВЕРХ, - ВНИЗ).

N	Фронтальная часть генератора	Боковая часть генератора	Задняя часть генератора
1	+	+	+
2	+	+	+
3	+	-	+
4	+	-	+
5	+	-	+
6	-	+	+
7	+	+	+
8	+	-	+
9	+	-	+
10	-	-	+
11	+	+	+
12	+	+	+
13	-	+	+
14	+	-	-
15	+	+	+

Нам не удалось получить хорошо воспроизводимых данных относительно изменения 'модальности' излучения. 'Модальность' поля также оценивалась с помощью метода биолокации. Однако оба оператора указали на различные 'полярности' фронтального излучения светодиодного генератора. Дальнейшие оценки этим методом не проводились. Также была предпринята попытка измерения 'модальности' для крутящегося диска, однако в виду множества помех, эти попытки были прекращены.

### IV. ПОСТАНОВКА 'ФАНТОМА' И ИЗМЕРЕНИЕ ДИНАМИКИ ЕГО ГРАНИЦ

'Фантомом' обозначено явление, когда после выключения и переноса генератора на другое место, изме-

Таблица III  
ИЗМЕРЕНИЕ 'МОДАЛЬНОСТИ' ИЗЛУЧЕНИЯ ПОЛИСПЕКТРАЛЬНОГО ГЕНЕРАТОРА. ПОКАЗАНО НАПРАВЛЕНИЕ ДВИЖЕНИЯ СТРЕЛОЧНОГО ИНДИКАТОРА (+ ВВЕРХ, - ВНИЗ).

N	Фронтальная часть генератора	Боковая часть генератора	Задняя часть генератора
1	-	+	+
2	-	+	+
3	-	+	+
4	+	+	+
5	+	+	+
6	-	+	+
7	-	+	+
8	-	+	+
9	-	+	+
10	-	+	+
11	-	+	+
12	+	+	+
13	+	+	+
14	+	+	+
15	-	+	+

рительными приборами продолжают регистрироваться изменения в той же области пространства, где находился до этого генератор, см. например [5]. В случае с прибором ИГА-1, показания стрелочного индикатора очерчивают границы области излучения. О возможности постановки 'фантомов' уже сообщалось ранее, например в ходе проведения лабораторного дня рабочего совещания по торсионным технологиям в Москве в 2010 году [6]. В экспериментах 17-18 сентября 2012 г. ставилась задача создания 'фантома', измерение динамики изменения его границ и, по-возможности, воздействие на него с целью уничтожения. Первые успешные по-

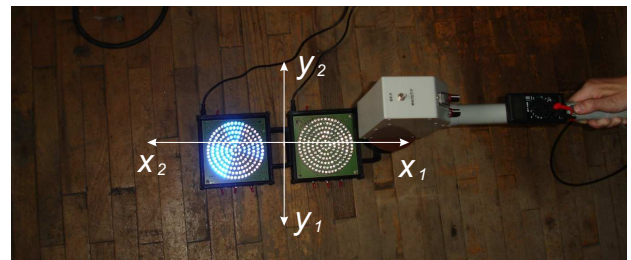


Рис. 5. Положение светодиодных генераторов. Оси  $x_1, x_2, y_1, y_2$  показывают направление движения руки оператора с прибором ИГА-1.

пытки создания 'фантома' были предприняты 17 сентября. Однако большой уровень помех препятствовал измерению их границ. Во второй день было предпринято несколько попыток найти место в здании и во внутреннем дворе:

- с минимальным количеством людей
- со спокойным 'фоном' (т.е. плавными изменениями стрелочного индикатора ИГА-1)
- наличием инфраструктуры (питание, заземление, освещение и т.д.)

Таблица IV  
ИЗМЕРЕНИЕ ДИНАМИКИ ГРАНИЦ 'ФАНТОМА'.

N	Время замера	Наличие фанто-ма	Примечания
1	16.00	нет	Контрольные измерения фона в зоне создания 'фантома', проведены независимо друг от друга Владом Жигаловым (ВЖ) и Сергеем Кернбахом (СК) на первом приборе ИГА-1. Результаты замеров показывают незначительные колебания стрелочного индикатора в направлении $x_1$ и $y_1$ . Показания в направлении $x_2$ и $y_2$ возрастают на расстоянии порядка 15-20 см от стены и объектов под столом.
2	16.10	нет	Включены два светодиодных генератора, синего и полиспектрального излучения. Около 16.15 произведен контрольный замер наличия границ излучения. При обнулении ИГА-1 в центре генераторов зафиксированы быстрые изменения стрелочного индикатора прибора на расстоянии порядка 35-45 см в каждом направлении.
3	16.40	нет	светодиодные генераторы выключены и перенесены в другое помещение.
4	17.00	да	Замер наличия 'фантома' в области работы генераторов. Измерения произведены независимо друг от друга Владом Жигаловым, Сергеем Кернбахом на первом приборе ИГА-1 и Павлом Ермаковым (ПЕ) на втором приборе ИГА-1. Все три исследователя подтвердили присутствие изменений стрелочного индикатора на границах излучения светодиодного генератора.
5	17.15	да	Такие же результаты как и в 4), измерено СК на первом ИГА-1
6	17.25	да	Замечено, что по оси $x_1$ показания стрелочного индикатора имеют более 'пологую' форму, в остальном такие же как и в случае 5), измерение произведено СК на первом ИГА-1

В результате было найдено место, приблизительно размером 1.5x1.2 метра, где ИГА-1 показывал плавные и незначительные колебания индикатора на высоте около 40см-45см от пола. Двумя операторами были проведены и подтверждены фоновые измерения. Два светодиодных генератора (один синий и один полиспектральный) были положены на пол и включены на 40 минут, см. рисунок 5. Во время работы генераторов был произведен первый контрольный замер границ излучения генераторов. Измерялся 'срез' на высоте 40см-45см. После этого генераторы были выключены и перенесены в другую комнату. Сразу после этого были произведены вторые контрольные замеры на той же высоте, подтвердившие образование 'фантома' в той области пространства, где находились генераторы.

После этого на протяжении 3х часов измерялись границы этого пространства тремя разными операторами и двумя разными приборами ИГА-1. Операторы перед

Таблица V  
ИЗМЕРЕНИЕ ДИНАМИКИ ГРАНИЦ 'ФАНТОМА',  
ПРОДОЛЖЕНИЕ.

N	Время замера	Наличие фанто-ма	Примечания
7	17.40	да	Такие же результаты как и в 6), измерено СК на первом ИГА-1
8	18.10	да	Такие же результаты как и в 7), измерено СК на первом ИГА-1
9	18.20	да	Измерено ПЕ на втором ИГА-1, исследователь обнаружил ослабление границы 'фантома' в направлении $x_1$ по сравнению со своим предыдущим замером 4), остальные оси без изменений
10	18.35	да	Такие же результаты как и в 8), измерено СК на первом ИГА-1
11	18.55	да	Такие же результаты как и в 10), измерено СК на первом ИГА-1
12	19.15	да	Измерено ПЕ на втором ИГА-1, исследователь обнаружил более плавные изменения стрелочного индикатора по осям $y_1, y_2$ , при движении по осям $x_1$ и $x_2$ исследователь отметил отклонение индикатора в разные стороны в каждой из осей. Исследователь утвердительно ответил на вопрос о детекции 'некоторого образования' в области свечения генераторов.
13	19.30	да	Такие же результаты как и в 11), измерено СК на первом ИГА-1
14	19.45	да	Такие же результаты как и в 13), измерено СК на первом ИГА-1
15	20.00	да	Контрольные измерения в конце эксперимента, проведены независимо друг от друга ВЖ и СК на первом приборе ИГА-1 и ПЕ на втором приборе ИГА-1. Все три исследователя подтвердили присутствие резких изменений стрелочного индикатора по осям $y_1, y_2, x_2$ и более плавное по оси $x_1$ на границах излучения светодиодного генератора.
16	20.05	да	Были предприняты попытки убрать 'фантом' посредством фотовспышек (6 раз), резких звуков, пламени свечи. Все три исследователя измерили еще раз наличие 'фантома'. Изменения стрелочного индикатора остались в предыдущих границах без ощутимых изменений.

проведением измерений кратковременно заземлялись для снятия статического потенциала. Нужно отметить, что удержание заземления в руке по время измерения значительно ослабляет результаты измерений (что скорее всего является конструктивной особенностью прибора). Нужно также отметить, что по пространству, где располагался 'фантом', проходили люди, однако это не изменило геометрию 'фантома' заметным образом. В таблицах IV и V указаны результаты замеров и комментарии операторов.

В заключении, была предпринята попытка уничтожения 'фантома' несколькими методами, например фотовспышками, пламенем и т.д., о которых сообщалось

ранее другими исследователями. Однако эти попытки не увенчались успехом.

#### V. НЕКОТОРЫЕ ВЫВОДЫ

Необходимо подчеркнуть, что эти эксперименты носят качественный характер единичного измерения, которые ни в коей мере не отражают принципиальных приборных или же операторных возможностей. Преследовалась в первую очередь цель обозначить некоторые явления, изучение которых может быть углублено в последующих более точных экспериментах и реплицированы в независимых лабораториях.

В частности, были качественно показаны пространственные границы поля для светодиодного излучателя. Поскольку они имеют ограниченные размеры (по крайней мере в том виде, в котором производит измерения прибор ИГА-1), предполагается, что речь идет о собственном спиновом поле генератора. Во-вторых, не удалось достоверно измерить 'модальность' излучения имеющимися средствами.

В-третьих, удалось успешно создать 'фантомы' светодиодными генераторами (см. также отчет [6]). При измерении динамики границ, было отмечено некоторое ослабление одной из границ, однако сам факт присутствия 'фантома' не изменился. В этом эксперименте разрушить 'фантом' не удалось. Для более глубоких выводов о возможности влияния на 'фантомы' необходимо проведение дополнительных экспериментов. Также необходимо указать на измерение 'модальности' излучения, эффект которого был экспериментально изучен на основе биологических сенсоров. Эти биологические эксперименты должны быть реплицированы с использованием технологических сенсоров.

#### СПИСОК ЛИТЕРАТУРЫ

- [1] Ю.П. Кравченко and Н.В. Калащченко. К вопросу о регистрации электромагнитного излучения человеческого организма в целях медицинской диагностики. *Парансихология и Психофизика*, (4(16)):67–80, 1994.
- [2] Serge Kernbach. Replication attempt: Measuring water conductivity with polarized electrodes. *Journal of Scientific Exploration*, 27(1):69–105, 2013.
- [3] Самохвалов В.Н. Экспериментальные доказательства существования массодинамических полей и сил. *Фундаментальные проблемы естествознания и техники. Труды Международного научного Конгресса*, 33:488–497, 2008.
- [4] А.В. Бобров. *Модельное Исследование Полевой Концепции Механизма Сознания (A. V. Bobrov, Investigating a field concept of consciousness)*. Орел, ОрелГТУ, 2006.
- [5] В.А. Жигалов. *Характерные эффекты неэлектромагнитного излучения*. Интернет публикация, 2011.
- [6] В.А. Жигалов. *Лабораторные работы с фантомами от торсионных генераторов*. Неопубликовано, 2010.